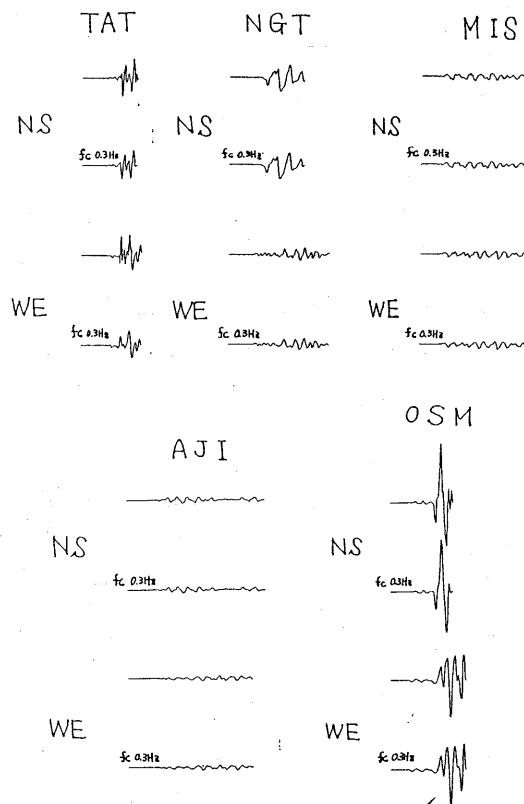


強震記録から推定した11月22日9時
41分(M6.1)
の地震のメカニズム解(速報) *

気象研究所 地震火山研究部

震央距離約60kmまでの強震記録の直達S波から約1/2周期後までの記象を用いて, seismic momentのinversionによりメカニズム解の推定をおこなった。

解析に用いた記象を第1図に示す。但し、大島(OSM)は震源に近いため、震源位置の不確定さに大きく影響されるので、今回の解析データからは除いてある。各記象はカットオフ周波数(f_c)0.3Hzのハイカットフィルターを通して短周期成分を除いてある。



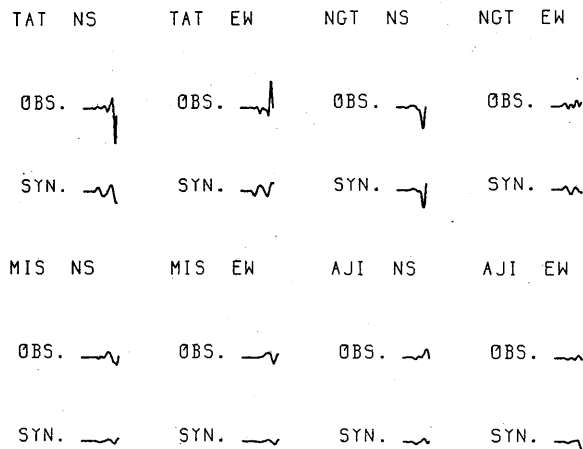
第1図 観測記録

Fig. 1 Observed seismograms

* Received Aug. 20, 1987.

第2図に、観測記象と inversionにより求められた理論記象との比較を示す。なお、理論記象を計算するために仮定した速度構造を第1表に示す。推定された seismic moment tensor の eigen value と eigen vector は第2表に示してある。得られた結果は完全な shear dislocationを示すものではない。また、moment tensor の各成分の誤差も非常に大きい。

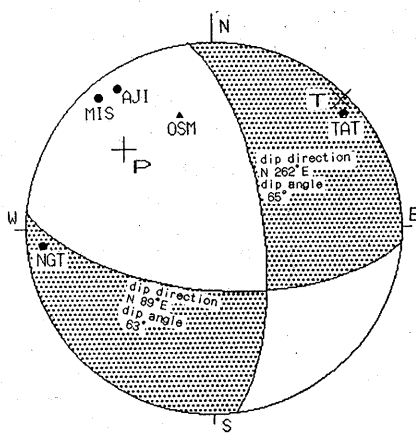
このmoment tensor を shear dislocation の成分が最大となるように分解すると、shear dislocation の moment は 0.5×10^{25} dyne・cm となり、その他の成分の大きさは、 0.15×10^{25} dyne・cm 以下となる。moment tensor の誤差からみて、shear dislocation からのはずれが有意かどうかの議論はできない。



第2図 観測記録と合成記録の比較

Fig. 2 Comparison of observed seismograms
with synthetic seismograms.

第3図にこの shear dislocation のメカニズム解を示す。P波初動から求められたメカニズム解と比べると、大局的には一致しているが、このメカニズム解の方がP軸が若干大きな傾斜角を示している。但し、今回の解析ではデータがまだ不十分であるため、moment tensor の推定誤差は大きい。今後データを増して、再解析する必要がある。



第3図 推定されたメカニズム解

Fig. 3 Focal mechanism inferred from the wave forms of observed seismograms.

第1表 計算に用いた地殻速度構造

Table 1. Velocity structure employed in the calculation of synthetic seismograms.

V p (km/s)	V s (km/s)	P (g/cm ³)	h (km)	Q p	Q s
2.86	1.63	2.3	0.0	80	40
6.00	3.46	2.7	1.5	300	150
6.82	3.94	3.0	24.0	500	250
7.80	4.50	3.2	30.0	1000	500

第2表 推定された seismic moment tensor の eigen value
と eigen vector

Table 2. Eigen values and eigen vectors of the seismic moment tensor.

eigen value	eigen vector
0.65×10^{25}	(0.70, 0.71, -0.07)
-0.35×10^{25}	(-0.54, 0.59, 0.60)
0.15×10^{25}	(-0.46, 0.38, -0.80)